

Method of monitoring charge of a gastight alkaline accumulator

Publication number: DE10045622

Publication date: 2002-03-28

Inventor: KOEHLER UWE (DE)

Applicant: NBT GMBH (DE)

Classification:

- **international:** G01R31/36; H01M10/34; H01M10/44; H02J7/00;
G01R31/36; H01M10/34; H01M10/42; H02J7/00; (IPC1-
7): H01M10/44

- **European:** G01R31/36V1A; H01M10/34; H01M10/44D;
H02J7/00M10D3

Application number: DE20001045622 20000915

Priority number(s): DE20001045622 20000915

Also published as:



EP1189326 (A2)

US6392389 (B1)

US2002033693 (A1)

EP1189326 (A3)

[Report a data error here](#)

Abstract not available for DE10045622

Abstract of corresponding document: **EP1189326**

The characteristic of the critical charging voltage as a function of the charging current is determined for different temperatures, and linearized by a function of the form A(I)xT+B(I). The values A and B are stored in a battery management system. In operation, when charging a similar storage battery, the critical temperature and charging current are measured and used to calculate the critical charging voltage to control the charging.

Data supplied from the **esp@cenet** database - Worldwide



⑯ BUNDESREPUBLIK
DEUTSCHLAND



DEUTSCHES
PATENT- UND
MARKENAMT

⑫ Offenlegungsschrift
⑩ DE 100 45 622 A 1

⑮ Int. Cl. 7:
H 01 M 10/44

DE 100 45 622 A 1

⑯ Aktenzeichen: 100 45 622.7
⑯ Anmeldetag: 15. 9. 2000
⑯ Offenlegungstag: 28. 3. 2002

⑦ Anmelder:
NBT GmbH, 30419 Hannover, DE

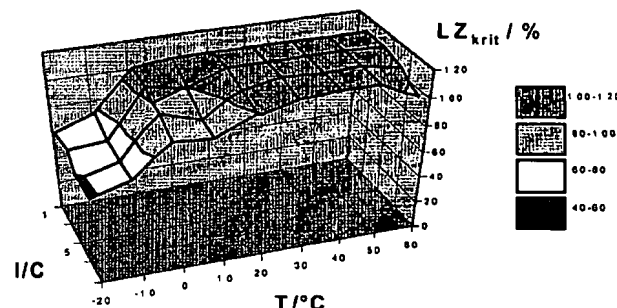
⑦ Erfinder:
Köhler, Uwe, Dr., 34131 Kassel, DE

⑧ Vertreter:
Kaiser, D., Dipl.-Ing., Pat.-Ass., 65779 Kelkheim

Die folgenden Angaben sind den vom Anmelder eingereichten Unterlagen entnommen

⑯ Verfahren zur Überwachung der Ladung gasdichter alkalischer Akkumulatoren

⑯ Bei einem Verfahren zur Überwachung der Ladung gasdichter alkalischer Akkumulatoren werden an einem Akkumulator die Kennlinien der kritischen Ladespannung (U_{krit}) als Funktion von Ladestrom (I) für verschiedene Temperaturen (T) ermittelt und durch eine Funktion der Form $A(I) \times T + B(I)$ linearisiert. Die so ermittelten Wertepaare A und B werden in einem Batteriemanagementsystem als Parameterfelder abgelegt und im Betrieb eines zu überwachenden baugleichen Akkumulators wird aus der Messung von Temperatur und Ladestrom die zugehörige kritische Ladespannung berechnet, die zur Steuerung der Ladung des Akkumulators dient.
Aus der Messung von Strom (I) und Temperatur (T) kann bei Erreichen der kritischen Ladespannung (U_{krit}), die dem kritischen Ladezustand (LZ_{krit}) entspricht, der Wert des kritischen Ladezustands errechnet werden.



DE 100 45 622 A 1

Beschreibung

[0001] Wiederaufladbare alkalische Batteriesysteme werden in großen Mengen für moderne Gerätanwendungen eingesetzt. Neben diesen Anwendungen wird in Zukunft auch verstärkt der Einsatz in Fahrzeugen, sei es als Antriebsbatterie in Hybridfahrzeugen oder als Bordnetzbatte-

rie, treten. Hohe Leistungsabgabe und die Fähigkeit, elektrische Energie mit hoher Leistung effektiv rückzuspeichern, sind wesentliche Eigenschaften der alkalischen Systeme.

[0002] Von allen alkalischen Sekundärsystemen: Nickel-Cadmium (NiCd), Nickel-Metallhydrid (NiMH), Nickel-Zink(NiZn), Nickel-Eisen(NiFe) hat sich heute das Nickel-Metallhydrid-System als das System mit den besten Eigen-

schaften herausgebildet. Gegenüber anderen alkalischen Se-

kundärsystemen besitzt es bessere Ladungsaufnahme, län-

gere Lebensdauer und vermeidet den gefürchteten "Memory

Effekt". Zudem kommt es ohne giftige Schwermetalle aus.

[0003] Die Möglichkeiten der Schnellladung von alkali- schen Sekundärsystemen reichen bis in den Bereich weniger Minuten. Begrenzt wird die Schnellladung durch die Über- schreitung kritischer Zellspannungen, die durch die Zersetzungsspannung des Wassers bestimmt werden und Sauer- stoffgasung an der positiven Elektrode, die in einer gasdichten alkalischen Zelle in ihrer Kapazität gegenüber der negati- ven Elektrode unterdimensioniert ist. Die Sauerstoffgasung an der positiven Elektrode erfolgt als parasitäre Reak- tion, wenn die positive Elektrode sich dem Vollladezustand nähert und stellt die Ursache für die Notwendigkeit von La-

destrombegrenzungen dar.

[0004] Durch die Sauerstoffgasungsreaktion kann sich in der Zelle ein Druck aufbauen, der im Extremfall zum An- sprechen der Sicherheitsventile und zum Austritt von Lade- gasen und Elektrolyt führt. Da sich beides schädigend auf die Lebensdauererwartung der gasdichten Zellen auswirken kann, ist es erstrebenswert, solche kritischen Ladezustände früh zu erkennen und die Ladeströme rechtzeitig zu begrenzen bzw. abzubrechen.

[0005] Das Erkennen der kritischen Ladezustände ist je- doch problematisch. Eine Druckmessung gilt als zu aufwen- dig. Als von außen an der Zelle messbare Größen stehen nur Zellspannung und -temperatur zur Verfügung. Da die Sauer- stoff-Gasungsreaktionen bei gasdichten alkalischen Sekun- därsystemen immer von einer exothermen Sauerstoff-Ver- zehrreaktion an der negativen Gegenelektrode begleitet ist, ist generell auch der in der Regel beobachtete zeitliche Tem- peraturanstieg ein Signal für die beginnende Gasung und da- mit den zellinternen Druckanstieg. Allerdings kann beson- ders bei sehr hohen Ladeströmen auf das Temperatursignal nur bedingt zurück gegriffen werden, da die hohe Wärmekapazität von wässrigen Batteriesystemen nur zu einem ver- hältnismäßig langsamem Anstieg der Temperatur als Folge einer beginnenden Überladung führt.

[0006] Der Erfinding liegt daher die Aufgabe zugrunde, ein Verfahren zur Überwachung der Ladung und zur Be- stimmung kritischer Ladezustände anzugeben, wobei ledig- lich Spannung und Temperatur des zu überwachenden Ak- kumulators gemessen und zur Beurteilung herangezogen werden.

[0007] Diese Aufgabe wird erfundungsgemäß bei einem Verfahren der eingangs genannten Gattung durch die Merk- male des kennzeichnenden Teils des Anspruchs 1 gelöst. In den Unteransprüchen sind vorteilhafte Ausgestaltungen des Verfahrens angegeben.

[0008] Im folgenden ist das erfundungsgemäße Verfahren anhand der Fig. 1 bis 6 näher erläutert.

[0009] Fig. 1 zeigt den Spannungsverlauf U_{CELL} , das Druckverhalten P_{CELL} und den Temperaturverlauf T_{CELL} ei-

ner NiMH-Zelle mit einer Nennkapazität von 9 Ah, die schrittweise mit 0,9 Ah-Ladungspulsen (10% der Kapazität) bei 20°C mit einer Stromstärke von 90 A (10 C-Rate) geladen wird. Nach Beendigung jedes einzelnen Ladeschritts

5 verbleibt die Zelle für 30 Minuten in Ruhe, um mit der Um- gebung einen Temperaturausgleich herbeizuführen und die Zelle wieder auf Ruhepotential, -temperatur und -druck zu bringen. Bei Überschreitung eines Ladezustands von 90% ist im gezeigten Beispiel ein deutlicher Druckanstieg zu be- obachten, der mit einem horizontalen Einschwenken des Spannungssignals U_{CELL} einhergeht. Bei weiterem Laden sinkt unter weiterem Druckanstieg die Spannung sogar wie- der leicht ab. Dieser Effekt ist als negative Delta U-Ver- schiebung (Depolarisation) bekannt und wird heute als Ab- schaltsignal vielfältig genutzt, wobei die Ladeströme aber in der Regel unterhalb des halbstündigen Nennstroms (2 C-Rate) bleiben.

[0010] Hier und im folgenden sind die Belastungsströme des Akkumulators in C angegeben, d. h., ein Ladestrom von 20 1 C entspricht der Ladung eines Akkumulators mit einer Nennkapazität von 9 Ah mit einem Ladestrom von 9 A, eine Ladung mit 10 C einem Ladestrom von 90 A.

[0011] Der Wert des Spannungsmaximums, der mit dem Druckanstieg durch die Sauerstoffgasung bzw. dem Gasver- zehrmechanismus an der negativen Elektrode korelliert, 25 wird als kritische Spannungsgröße U_{krit} bezeichnet.

[0012] Führt man die in Fig. 1 beschriebene Messung bei einer Vielzahl verschiedener Ströme und bei verschiedenen Temperaturen durch und definiert die dabei beobachteten

30 Spannungsmaxima, die mit dem Druckanstieg korreliert sind, als zu diesen Parametern gehörende kritische Spannungswerte, so ergibt sich das in Fig. 2 dargestellte Dia- gramm. Mit steigendem Ladestrom verschieben sich die U_{krit} -Werte zu höheren Spannungswerten. Niedrigere Tem- peraturen verursachen ebenfalls eine Verschiebung der kriti- schen Werte zu höheren Spannungen.

[0013] Der in Fig. 3 gezeigte Zusammenhang zwischen kritischer Spannung U_{krit} und Temperatur (mit den La- 40 deströmen in C als Parameter) zeigt nahezu lineare Verläufe, die durch einen einfachen mathematischen Zusammenhang der Form

$$U_{krit} = A(I) \cdot T + B(I)$$

45 beschrieben werden können.

[0014] Der lineare Zusammenhang zwischen U_{krit} und Temperatur, der in Fig. 3 für Ladeströme von 1, 2, 5 und 10 C dargestellt ist, aber auch für dazwischen liegende La- 50 deströme gilt, bedeutet, dass bei Kenntnis der Parameter A und B kritische Ladespannungen aus o. g. Zusammenhang berechnet werden können. Die kritischen Ladespannungs- werte können als Referenzwerte im Batteriemonitoring-Sy- stem berechnet und mit dem aktuellen Spannungswert des Systems verglichen werden. Überschreitet die aktuelle La- 55 despannung den kritischen Wert, werden Maßnahmen zur Ladestromabregelung ausgelöst. Dazu ist lediglich die Spei- cherung der Wertepaare A und B im Batteriemanagementsys- tem der Parameterfelder Voraussetzung.

[0015] Beide Parameter A und B hängen vom Ladestrom (I) ab. Der Verlauf von A (Anstiegsrate) in Abhängigkeit von der Stromstärke I ist in Fig. 5, der von B ist in Fig. 4 grafisch dargestellt. Zur praktischen Verwendung werden beide Größen in tabellierter Form in einem Batteriemanagement-System als Parameter-Tabelle hinterlegt.

[0016] Der beschriebene Zusammenhang zwischen Tem- peratur, Ladestrom und kritischer Spannung kann umge- kehrt auch zur Bestimmung des Ladezustands genutzt wer- den, da die kritischen Spannungswerte naturgemäß mit ei-

nem bestimmten kritischen Ladezustand (LZ_{krit}) korreliert sind, wie auch aus **Fig. 1** ersichtlich. Auch dieser kritische Ladezustand LZ_{krit} ist wiederum eine Funktion der Parameter Temperatur (T) und Ladestrom (I). **Fig. 6** zeigt den Zusammenhang zwischen kritischem Ladezustand (LZ_{krit}), Temperatur und Ladestrom. Bei Erreichen einer kritischen Ladespannung U_{krit} , die, wie oben erläutert, ermittelt wird, kann aus den dieser Anzeige zugrunde liegenden I- und T-Werten mittels des in **Fig. 6** dargestellten dreidimensionalen Zusammenhangs auf den Ladezustand rückgeschlossen werden. Hieraus kann z. B. ein in der Regel auf Ladungsbilanzierung (Ah-Zähler) basierendes Ladezustands-Erstassungssystem ein "Reset" erfahren.

[0017] Das beschriebene Verfahren setzt allerdings den Eintritt des Kritikalitätskriteriums voraus. Dies kann unter kontrollierten Bedingungen dergestalt erfolgen, dass z. B. generell bei einer Inbetriebnahme des Fahrzeugs oder in bestimmten zeitlich definierten Intervallen oder nach bestimmten Ladungsdurchsätzen die Akkumulatorenbatterie als quasi entladen betrachtet wird. Durch entsprechende Ladungssteuerung wird eine Nettoladung (positiver Ladefaktor) solange durchgeführt bis das $U > U_{krit}$ -Kriterium eintritt. Entsprechend den Daten in **Fig. 6** wird dann aus Temperatur und Ladestrom, die zu diesem U_{krit} -Wert gehören, der Ladezustand bestimmt. Tritt z. B. bei einer Temperatur von 0°C und einem Strom von 10 C Spannungskritikalität ein, so kann daraus auf einen Ladezustand von 80% geschlossen werden. Bei 20°C und einem Strom von 10 C bedeutet dagegen Kritikalität einen Ladezustand von annähernd 100%.

[0018] Der so ermittelte Ladezustand wird im Batteriemanagementsystem gespeichert und wird als Reset-Wert für eine Ladezustandskontrolle mittels zeitlicher Stromintegration verwendet. Eine solche Ladezustandsbestimmung kann in festen zeitlichen Intervallen oder nach Durchsatz einer bestimmten Ladungsmenge erfolgen.

(U_{krit}) geladen wird.

4. Verfahren nach Anspruch 2, dadurch gekennzeichnet, dass das Akkumulatorensystem aus einem beliebigen Ladezustand heraus durch eine Nettoladung eine Erhöhung des Ladezustandes erfährt, und dass beim Erreichen des kritischen Ladezustandes (LZ_{krit}), dieser Ladezustandswert im Batterie-Managementsystem gespeichert wird, und beim weiteren Betrieb des Akkulators dieser Wert als Reset-Wert für eine Ladezustandskontrolle mittels zeitlicher Strom-Integration verwendet wird.

5. Verfahren nach Anspruch 4, dadurch gekennzeichnet, dass die Ladezustandsbestimmung in festen zeitlichen Intervallen oder nach Durchsatz einer bestimmten Ladungsmenge durchgeführt wird.

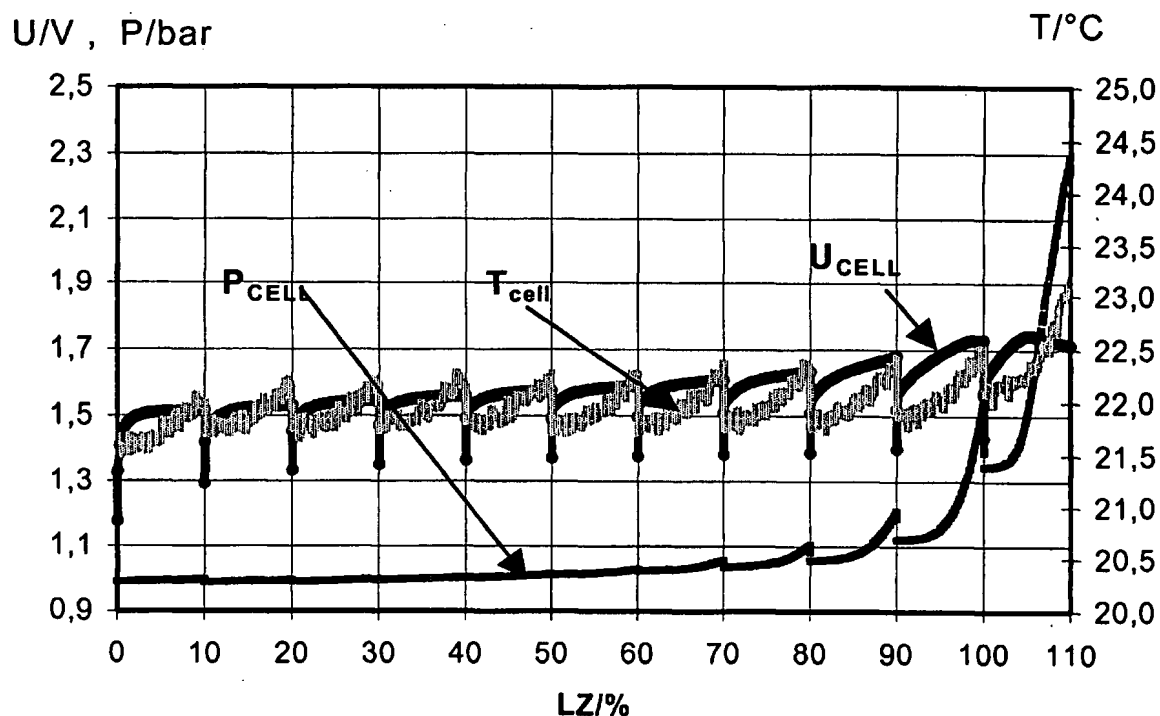
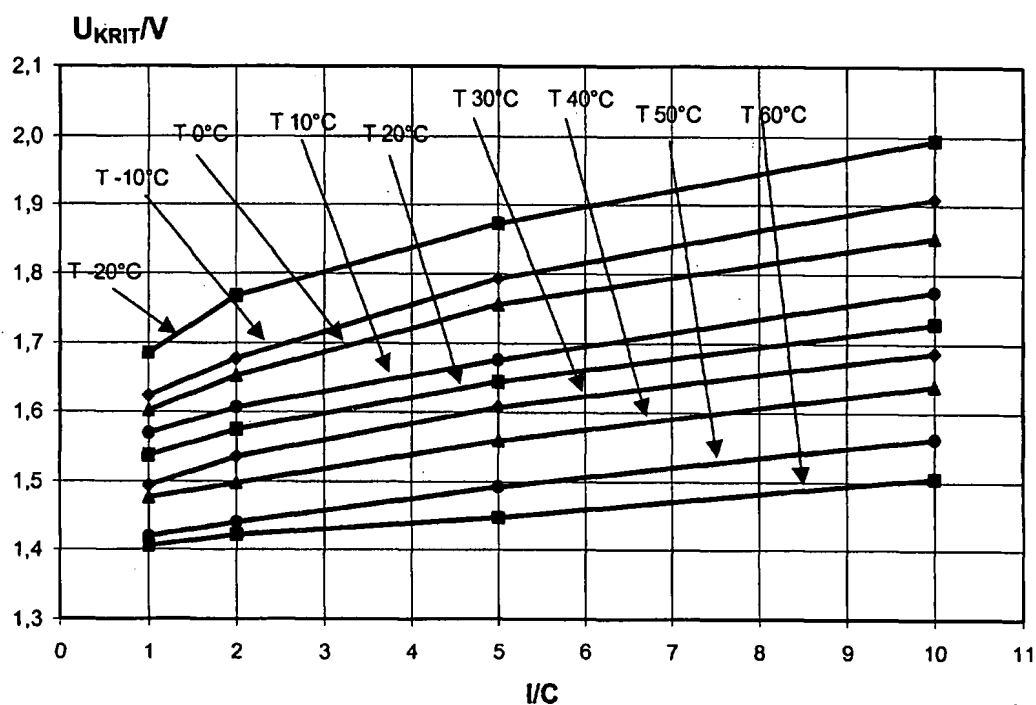
Hierzu 3 Seite(n) Zeichnungen

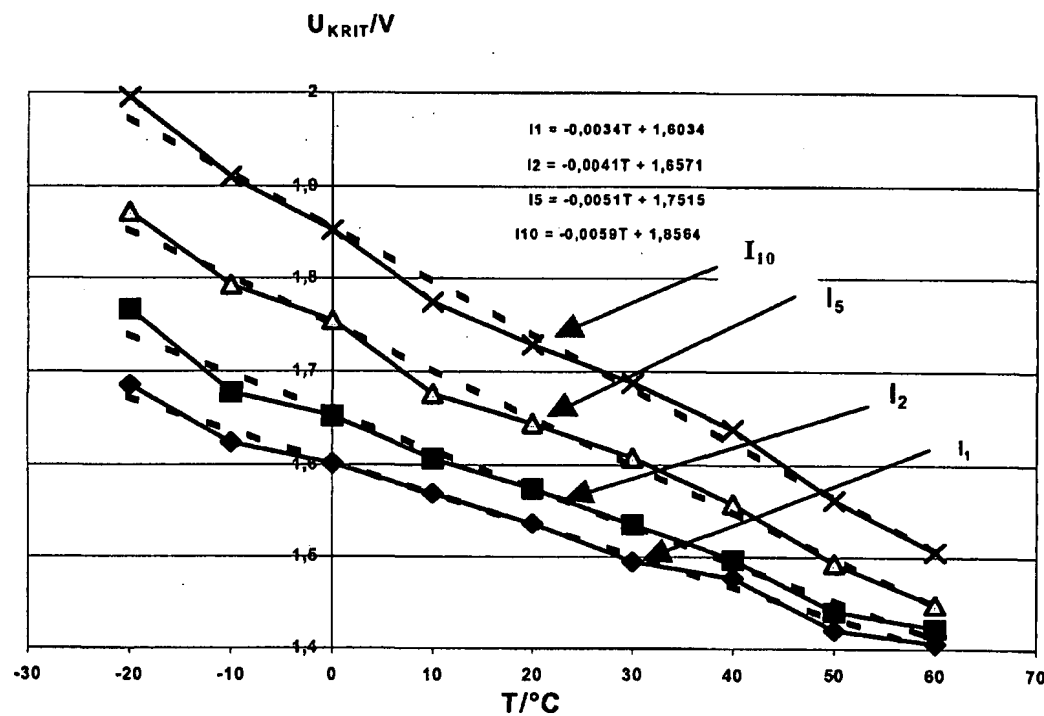
Patentansprüche

1. Verfahren zur Überwachung der Ladung gasdichter alkalischer Akkumulatoren, dadurch gekennzeichnet, dass an einem Akkumulator die Kennlinien der kritischen Ladespannung (U_{krit}) als Funktion von Ladestrom (I) für verschiedene Temperaturen (T) ermittelt werden und durch eine Funktion der Form $A(I) \times T + B(I)$ linearisiert werden, dass die so ermittelten Werte paare A und B in einem Batteriemanagementsystem als Parameterfelder abgelegt werden und dass im Betrieb eines zu überwachenden baugleichen Akkumulators aus Messung von Temperatur und Ladestrom die zugehörige kritische Ladespannung berechnet wird, die zur Steuerung der Ladung des Akkumulators dient.

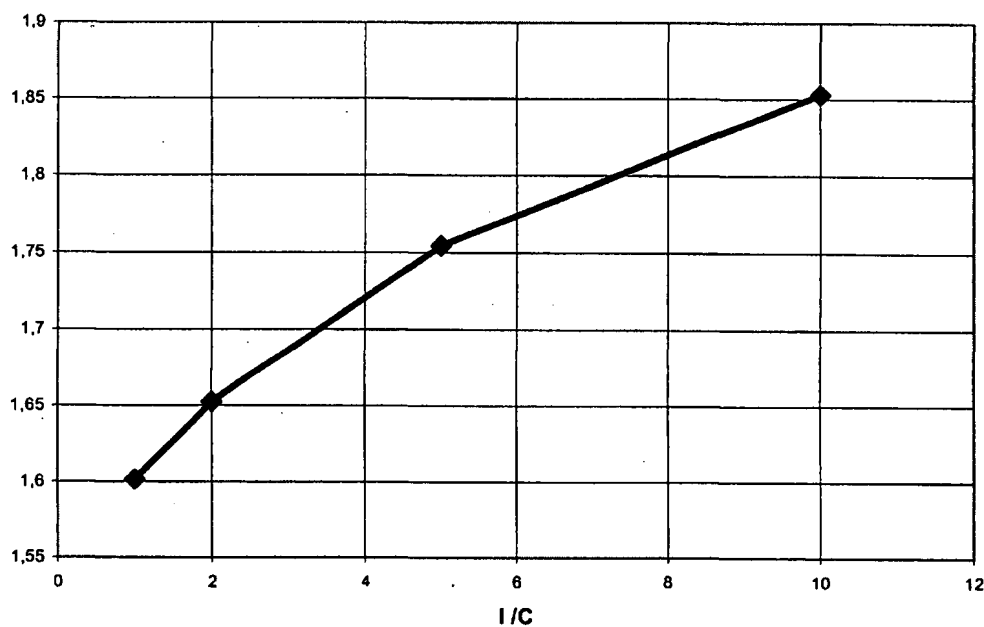
2. Verfahren nach Anspruch 1, dadurch gekennzeichnet, dass an einem Akkumulator die der kritischen Ladespannung U_{krit} entsprechenden kritischen Ladezustände (LZ_{krit}) als Funktion von Ladestrom (I) und Batterietemperatur (T) ermittelt werden und die Daten als Parameterfelder im Batteriemanagementsystem gespeichert werden, und dass aus der Messung von Strom (I) und Temperatur (T) im Betrieb eines zu überwachenden baugleichen Akkumulators bei Erreichen der kritischen Ladespannung (U_{krit}), die dem kritischen Ladezustand (LZ_{krit}) entspricht, durch Vergleich mit den in den Parameterfeldern gespeicherten Daten, der Wert dieses kritischen Ladezustands (LZ_{krit}) ermittelt wird.

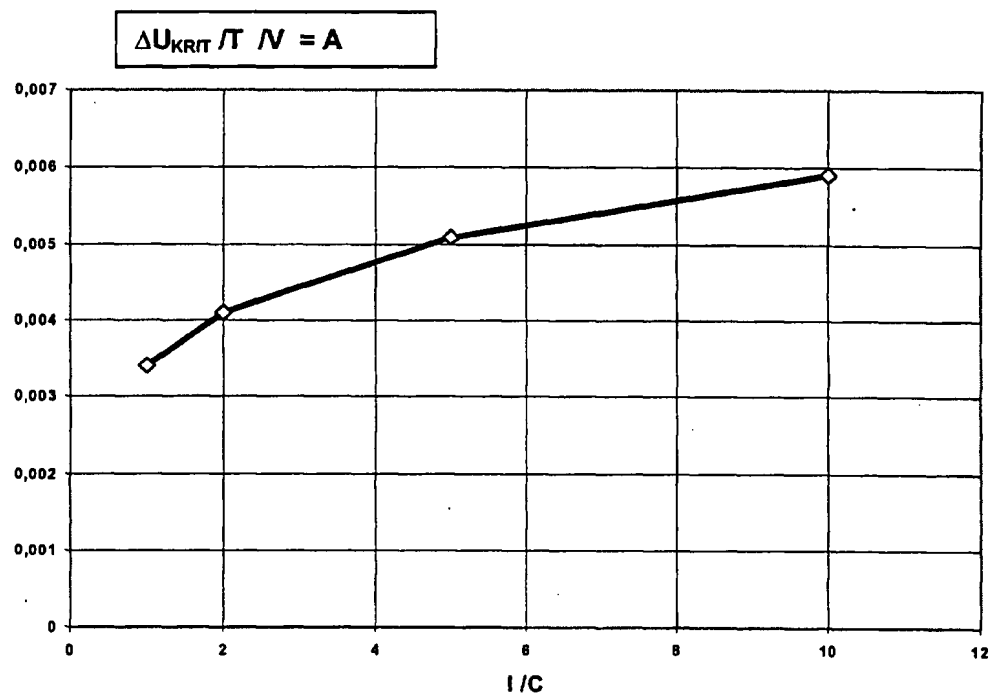
3. Verfahren nach Anspruch 2, dadurch gekennzeichnet, dass der zu überwachende Akkumulator in vorgegebenen Zeiten bis auf die kritische Ladespannung

**Figur 1****Figur 2**

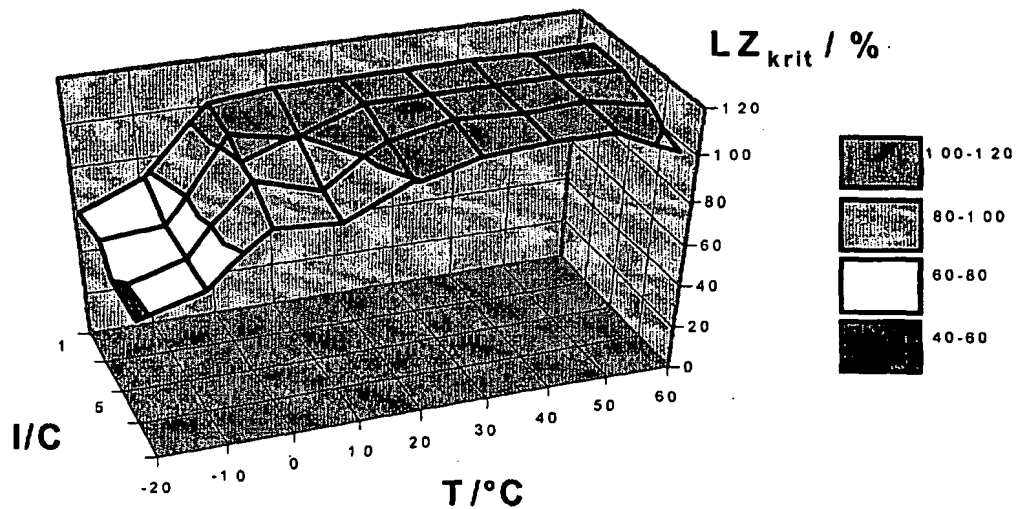
**Figur 3**

$$U_{KRIT}(0^\circ C) / V = B$$

**Figur 4**



Figur 5



Figur 6